

УДК 575.113:633.15

СРАВНИТЕЛЬНЫЙ АНАЛИЗ МУТАЦИЙ ГЕНОВ ГИНОГЕНЕЗА КУКУРУЗЫ

© 2024 Е. М. Моисеева¹, В. В. Фадеев¹, Ю. В. Фадеева¹, С. И. Мазилов¹, М. И. Чумаков^{1,*}

¹Институт биохимии и физиологии растений и микроорганизмов, Федеральный исследовательский центр «Саратовский научный центр Российской академии наук», Саратов, 410049 Россия

*e-mail: chumakov_m@ibppm.ru
Поступила в редакцию 25.03.2024 г.
После доработки 15.05.2024 г.
Принята к публикации 29.05.2024 г.

В статье приведен анализ полиморфизма нуклеотидных последовательностей генов, контролирующих гиногенез (Zm Pla1, Zm CenH3, Zm Dmp7) у гаплоиндуцирующих (3MC-8, 3MC-П) и контрольных (КМ, ГПЛ-1) линий кукурузы саратовской селекции. С помощью секвенирования и последующего множественного выравнивания транскриптов целевых генов исследуемых в работе линий и референсной линии кукурузы В73 определено наличие однонуклеотидных замен (ОНЗ), делеций и вставок, построены филогенетические деревья по изучаемым генам. Установлено наличие 4-нуклеотидной вставки в гене Zm Pla1, которая обусловливает гаплоиндуцирующую способность у предковой линии Stock 6 и гаплоиндуцирующих линий 3MC-8 и 3MC-П, а также 15 идентичных ОНЗ. Но элементы партеногенеза, демонстрируемые линиями АТ-1, АТ-3 и AT-4, у которых отсутствуют вставки из четырех нуклеотидов в гене Zm Pla1, имеют иную генетическую основу. Филогенетический анализ гена Zm Pla1 подтвердил родство гаплоиндуцирующих линий Stock6, 3MC-П и 3MC-8. В гене *Zm Dmp7* зафиксировано наличие пяти ОНЗ у линии ЗМС-8 и трех ОНЗ у линий ЗМС-П и КМ. Одна из ОНЗ (в положении 131 от стартового кодона) в гене Zm_Dmp7 является причиной повышенной гаплоиндуцирующей способности линии CAU5, но не 3MC-П. Помимо этого, в гене Zm Dmp7 обнаружены 3-нуклеотидная делеция у линии ЗМС-П и 9-нуклеотидная делеция у линии КМ.

Ключевые слова: гаплоиндукция, кукуруза, мутации, полиморфизм генов.

DOI: 10.31857/S0016675824100047 EDN: WGDEBU

Одной из важнейших мировых сельскохозяйственных культур является кукуруза (Zea mays L.). В современных сельскохозяйственных биотехнологиях для ускоренного получения гомозиготных линий применяют такую особенность систем размножения растений, как гиногенез (образование гаплоидных растений при нарушениях оплодотворения яйцеклетки). У современных сортов кукурузы независимое от оплодотворения развитие зародыша (гиногенез, или матроклинный партеногенез. как частный случай) встречается крайне редко (0,01-0,1%). Однако более 60 лет назад в результате скрещиваний и селекции была получена линия кукурузы Stock 6, при использовании которой в качестве опылителя в потомстве индуцируется образование до 2-3% матроклинных гаплоидов [1].

В 2017 г. впервые установлено, что в результате скрещиваний у линии кукурузы Stock 6, полученной более 60 лет назад [1], возникла случайная мутация — в четвертом экзоне гена Zm_Pla1 ,

кодирующего белок фосфолипазу А, произошла вставка четырех нуклеотидов, что привело к сдвигу рамки считывания, замене 20 аминокислот, появлению стоп-кодона и укорочению белка [2]. В ходе последующей селекции у линий саратовской селекции на базе линии Stock 6 эффективность гаплоиндукции (ГИ) была повышена с 2 до 8—10% [3—6]. Однако пока неясно, какие мутации обусловливают повышенную ГИ-способность у линий саратовской селекции.

В 2018 г. впервые было установлено, что ген *Dmp9* регулирует слияние мембран женской и мужской гамет растений и экспрессируется специфически как в генеративных клетках, так и в спермиях [7]. Годом позже было показано, что нокаут гена *Dmp9* арабидопсиса приводит к нарушению оплодотворения в большей степени яйцеклетки, чем центральной клетки [8]. В 2019 г. было показано, что ген *Dmp7*, расположенный в локусе *qhir8* (789 тпн) у кукурузы, является ортологом гена *Dmp9*

арабидопсиса и контролирует гаплоиндукцию [9]. Ген *Dmp7* экспрессируется на поздней стадии развития пыльцы кукурузы, а кодируемый им белок локализуется в плазматической мембране спермия и участвует в прикреплении спермия к поверхности яйцеклетки или центральной клетки. Роль гена *Dmp7* в гаплоиндукции кукурузы была доказана в экспериментах по нокауту гена с помощью геномного редактирования (CRISPR/Cas9) [9]. Одна однонуклеотидная замена (ОНЗ) (в положении 131 от стартового кодона) последовательности гена *Dmp7* у линии кукурузы CAU5 приводит к аминокислотной замене (метионин на треонин), что повышает гаплоиндукцию в 2–3 раза в присутствии мутантного гена *Pla1* [9].

В 2003 г. Чалык (Chalyk) с соавт. впервые была выдвинута гипотеза, что возможной причиной появления гаплоидов в потомстве линий-гаплоиндукторов кукурузы является анеуплоидия (элиминация хромосом) у части популяции мужских половых клеток, которая вызывает стимуляцию деления яйцеклетки без оплодотворения [10]. Элиминация хромосом подтвердилась у линий-гаплоиндукторов кукурузы, созданных на основе линии Stock 6 [11, 12]. Согласно [13], для СЕNН3-мутантов кукурузы содержание гаплоидов в потомстве может достигать 3.6%.

Элиминация хромосом и появление гаплоидов в потомстве арабидопсиса наблюдались при мутации в гене, кодирующем центромер-специфичный гистоновый белок CENH3, необходимый для прикрепления веретена в процессе митоза и мейоза. Изменения в нуклеотидной последовательности гена приводят к несовместимости и потере хромосом в первых зиготических делениях [14].

Исследования механизма анеуплоидии у кукурузы показали, что гаплоиндукция возникает при модификации N-концевого фрагмента или С-концевого складчатого гистонового домена белка СЕNНЗ [13]. В работе [15] показано, что при ко-экспрессии гена *CenH*3 дикого и мутантного типов способность к гаплоиндукции пропадает.

Цель статьи — сравнительный анализ полиморфизма нуклеотидных последовательностей генов, контролирующих гиногенез (наследуемый и индуцируемый) у гаплоиндуцирующих и контрольных линий кукурузы саратовской селекции.

МАТЕРИАЛЫ И МЕТОДЫ

Растения

Линия кукурузы ЗМС-8 (частота $\Gamma U - 8\%$) [4], производная от линии ЗМС, получена на кафедре генетики ФГБУ ВО Саратовского национального исследовательского государственного университета им. Н.Г. Чернышевского (СГУ). Линия ЗМС-П (частота $\Gamma U - 10\%$) была получена из потомства

самоопыленных гибридов линии ЗМС-8 (материнский родитель) и формы кукурузы с пурпурной окраской стеблей, листьев и метелок [6]. В скрещиваниях при получении линий ЗМС-8 и ЗМС-П использована линия Stock 6 [16].

Партеногенетическая линия кукурузы АТ-1 была выделена в самоопыленном потомстве гибрида линии-гаплоиндуктора Stock 6 (США, [1]) и линии Коричневый тестер (США) [см. 17]. При экспериментальной задержке опыления в зародышевых мешках у линии кукурузы АТ-1 был обнаружен высокий процент начала развития зародышей и эндосперма [17]. Однако линия АТ-1 плохо вызревала в условиях Саратовской области и поэтому была скрещена со скороспелой линией саратовской селекции ГПЛ-1 (дигаплоидизированный гаплоид, Саратов), в результате чего получена линия АТ-3 [18]. Партеногенетическая линия кукурузы АТ-4 была получена путем скрещивания линии АТ-1 с тетраплоидной линией Кр-1 (Краснодар) и последующим отбором диплоидной формы гибрида [19, 20]. Для линий АТ характерны такие элементы апомиксиса, как независимое от опыления развитие зародыша до стадии глобулы, начало эндоспермогенеза, полиэмбриония, а также псевдогамия [17, 21-23].

Линия КМ саратовской селекции без ГИ-способности имеет пурпурную окраску корней и побегов, что позволяет выявлять гаплоиды на стадии проростков [3].

Определение нуклеотидной последовательности транскриптов генов

Для выявления мутаций были секвенированы транскрипты целевых генов у исследуемых линий кукурузы. РНК выделяли из замороженных тканей (пыльца, завязи) [24, 25], получали кДНК согласно инструкции производителя ревертазы ("Евроген", Россия). Участки кДНК исследуемых генов амплифицировали с использованием специфических праймеров (подобраны с помощью ресурса Primer-Blast для перекрывающихся фрагментов последовательностей) и набора реактивов Tersus Plus PCR kit (Кат. № РК121, "Евроген"). Затем ПЦР-продукты очищали при помощи набора Cleanup Mini (Кат. № ВС023S, Евроген) и секвенировали в компаниях "Евроген" и "Синтол".

Методы биоинформатики

Нуклеотидные последовательности генов гаплоиндуцирующих и партеногенетических линий кукурузы сравнивали между собой, с линиями, не обладающими данными признаками, и референсной линией В73 методом множественного выравнивания с использованием программы BLAST (https:// blast.ncbi.nlm.nih.gov/ Blast.cgi).

РЕЗУЛЬТАТЫ И ОБСУЖДЕНИЕ

Zm Pla1

Множественное выравнивание нуклеотидных последовательностей транскриптов гена Zm Pla1 исследованных нами линий ЗМС-П и ЗМС-8, а также предковой линии Stock 6 показало присутствие вставки из четырех нуклеотидов и 15 ОНЗ (рис. 1), что свидетельствует о наследовании саратовскими линиями нуклеотидной последовательности гена Zm Pla1 от линии Stock 6. Филогенетический анализ и множественное выравнивание гена Zm Pla1 v исследуемых линий и линий из базы данных (https://www.gramene.org, https://www. maizegdb.org) показали наличие тех же 15 ОНЗ в генах Zm Pla1 у линий, ни одна из которых не является гаплоиндуктором. Поэтому можно предположить, что наличие 15 ОНЗ не связано с повышенной ГИ-способностью линий ЗМС-П и ЗМС-8.

Последовательности гена Zm_Pla1 линий KM и ГПЛ-1, которые использовались при получении линий ЗМС-8 и ЗМС-П, также не содержали 4-нуклеотидной вставки. У линии KM обнаружен вариант нуклеотидной последовательности гена Zm_Pla1 , содержащий семь ОНЗ. Последовательность гена Zm_Pla1 линии ГПЛ-1 полностью совпадает с последовательностью гена Zm_Pla1 референсной линии В73.

Мы секвенировали транскрипт гена *Zm Pla1* партеногенетической линии АТ-1, которая была выделена среди самоопыленного потомства Stock 6 и Коричневый тестер [17] и ее производных – АТ-3, АТ-4. Вопреки нашему ожиданию последовательности *Zm Pla1* этих линий полностью совпадают с последовательностью Zm_Pla1 референсной линии и не имеют вставки четырех нуклеотидов и 15 ОНЗ (данные не показаны). Эти линии характеризуются наличием элементов наследуемого партеногенеза, но не обладают гаплоиндуцирующей способностью. Таким образом, ген Zm Pla1, мутировавший v линии Stock 6, не был vнаследован линией АТ-1 и ее производными, а наследуемый партеногенез линий АТ связан с другими генетическими детерминантами.

Вставка четырех нуклеотидов в гене Zm_Pla1 нарушает функцию кодируемого им фермента фосфолипазы A, который осуществляет гидролиз фосфолипидов до жирных кислот. Связь этого процесса с гаплоиндукцией не вполне ясна, но предположительно дефектная фосфолипаза влияет на состав фосфолипидов мембраны и, как следствие, способность мембран спермия и яйцеклетки к слиянию [26]. В результате спермий не может слиться с яйцеклеткой и произвести диплоидный зародыш. Вставка четырех нуклеотидов в ген Zm_Pla1 приводит к фенотипу, как у линии Stock 6, и служит причиной образования до 2% гаплоидов в

потомстве у линии-негаплоиндуктора [27]. Какие дополнительные мутации и в каких генах дают увеличение Γ И-способности линий 3MC- Π и 3MC- θ до θ - θ 0%, еще предстоит выяснить.

Zm CenH3

Нуклеотидная последовательность гена *Zm_CenH3* у линий KM и 3MC-8 полностью совпадает с последовательностью гена референсной линии B73, а у линии 3MC-П несет одну OH3.

Zm Dmp7

Линии ЗМС-8 и ЗМС-П обладают высокой гаплоиндуцирующей способностью - 8-10 % [3-6]. Количество ОНЗ на 1000 нуклеотидов у гена *Zm Dmp7* исследованных линий составляет от 6,4 до 10.4. Анализ белок-кодирующей последовательности гена *Zm Dmp7* показал наличие пяти OH3 у линии ЗМС-8, а также трех ОНЗ и одной делеции из трех нуклеотидов у линии ЗМС-П по сравнению с контрольной линией В73 (рис. 2). Линия КМ несет три ОНЗ и делецию из девяти нуклеотидов в белок-кодирующей части гена Zm Dmp7, последовательность гена *Zm Dmp7* линии ГПЛ-1 совпадает с референсной последовательностью гена *Zm Dmp7* линии В73 (данные не показаны). У линий ЗМС-8 и ЗМС-П одинаковые ОНЗ С>G в положении 431, линии КМ, ЗМС-8 и ЗМС-П несут идентичные ОНЗ в положении 457 (см. рис. 2).

Интересно отметить, что ген Zm_Dmp7 у линии 3MC-8 несет ту же OH3 (в положении 131 от стартового кодона, рис. 2), что и гаплоиндуцирующая линия кукурузы CAU5 [9], которая, как считают авторы, увеличивает гаплоиндукцию у линии кукурузы CAU5 в 2-3 раза в присутствии мутантного гена Zm_Pla1 [9]. Однако линия 3MC-П (ГИ – 10%), полученная при скрещивании 3MC-8 (ГИ – 8%) с негаплоиндуцирующими линиями, не несет OH3 в положении 131. Таким образом, OH3 в положении 131 от стартового кодона в гене Zm_Dmp7 не является причиной повышенной гаплоиндуцирующей способности линии 3MC-П.

Для выявления филогенетического родства изучаемых линий кукурузы были построены филограммы с использованием последовательностей транскриптов генов Zm_Pla1 (рис. 3), Zm_Dmp7 (рис. 4).

Эволюционный анализ генов был проведен в программе MEGA 11 [28]. Эволюционные расстояния были вычислены с использованием метода максимального составного правдоподобия [29].

Из филограммы, построенной по гену *Zm_Pla1*, видно, что линии саратовской селекции распределились по родственным группам линий из баз данных. Линии по данному гену разделились на два больших кластера или на 12 отдельных групп,

D73		101		0.40
B73		181	GAGCTGGACGGACCGGAGGCGAGGCTGGCGGACTACTTCGACTACATCGCCGGAACCAGC	240
гпл-1		181		240
KM	_	181	A	240
Stock	6	181		240
ЗМС-П		181		240
3MC-8		181		240
В73		301	GCTGCCAAGGACATCAACCACTTTTACATGCAGAACTGCCCGCGCATCTTTCCTCAGAAG	360
гпл-1		301		360
KM		301	T	360
Stock	6	301		360
ЗМС-П		301		360
SMC-8		301		360
В73		541	AAGAGCACGCCTCTGAAGAACGCTCTGCTCTCGGACGTGTGCATTGGCACGTCCGCCGCG	600
ГПЛ-1		541		600
KM		541		600
Stock	6	541		600
ЗМС-П		541		600
SMC-8		541		600
В73		841	CTCTACACGGCGCGGCAGTGCTCCCGGTGGGGTATCTGCCGGTGGCTCCGCAACAACGGC	900
ГПЛ-1		841		900
KM		841		900
Stock	6	841		900
ЗМС-П		841		900
3MC-8		841		900
B73		961	GCCGCGATGTTCCAGTCGCTCCACAGCGACGGCGACTACCTGCGCATCCAGGACAACTCG	1020
ГПЛ-1		961		1020
KM		961		1020
Stock	6	961	A	1020
ЗМС-П		961	A	1020
3MC-8		961	A	1020
B73		1021	CTCCGTGGCGCCGCGGCCACCGTGGACGCGGCGACGCCGGAGAACATGCGGACGCTCGTC	1080
$\Gamma\Pi\Pi-1$		1021		1080
KM		1021		1080
Stock	6	1021		1080
ЗМС-П		1021		1080
3MC-8		1021	A	1080
В73		1081	GGGATCGGGGAGCGGATGCTGGCACAGAGGGTGTCCAGGGTCAACGTGGAGACAGG	1136
$\Gamma\Pi\Pi-1$		1081		1136
KM		1081		1136
Stock	6	1081		1140
ЗМС-П		1081		1140
3MC-8		1081		1140
B73		1137	GAGGTACGAACCGGTGACTGGCGAAGGAAGCAATGCCGATGCCCTCGGTGGGCTCGCTAG	1196
ГПЛ-1		1137		1196
KM		1137		1196
Stock	6	1141		1200
ЗМС-П		1141		1200
3MC-8		1141		1200
B73		1197	GCAGCTCTCCGAGGAGAGAGAACAAGGCTCGCGCGCGCGTCTCTGCCATCAACCCAAG	1256
ГПЛ-1		1197		1256
KM		1197		1256
Stock	6	1201		1260
ЗМС-П		1201		1260
3MC-8		1201		1260
B73		1257	AGGCTCTAGATGTGCGTCGTACGATATCTAAGACAAGTGGCTTTACTGTCAGTCA	1316
ГПЛ-1		1257		
KM		1257		
Stock	6	1261	.A	
ЗМС-П		1261	.A	
SMC-8		1261	.A	

Рис. 1. Множественное выравнивание нуклеотидных последовательностей гена Zm_Pla1 у линий кукурузы саратовской селекции КМ, ЗМС-8, ЗМС-П, ГПЛ-1, а также линий Stock 6 и В73, выполненное с использованием программы BLAST. Точками показано нуклеотидное сходство у линий кукурузы, буквами обозначены однонуклеотидные замены, дефисом — отсутствие нуклеотида.

В73	1	ATGGATCGCAGCAACGCCGGTGCGGTGTCCGTCGAGGTGCGCGGCGGCGGCGGCGGCTCG	60
KM	1		51
3MC-8	1		60
3MC-∏	1		57
В73	61	CCGCCGGGCGCGGAAGGAAGCGCCGCGCGGTGGCGAGGGGGCGTGCAGAAGACGCTCTCC	120
KM	52		111
3MC-8	61	A	120
3MC-∏	58		117
В73	121	AAGACGTCCATGCTGGCCAACTTCCTCCCCACGGGCACGCTGCTAACCTTCGAGATGCTA	180
KM	112		171
3MC-8	121	CC.	180
ЗМС-П	118		177
В73	241	CTGCTCGCGCTCTGCGCCCCCTCCTGCTTCCACTTCACCGACAGCTTCCGCGCC	300
KM	232		291
3MC-8	241		300
3MC-∏	238		297
В73	361	GGGCTCGGCGTCGAGGTGCCCAGGGAGGAAAGGTACCGGCTCGCCTTCGTCGACGTCGTG	420
KM	352	A	411
3MC-8	361		420
3MC-∏	358		417
B73	421	CACGCTGTCATGTCCGTGCTGGTCTTTGCGGCCGTCACGCTCGCCGACTACCGGGTCTCC	480
KM	412		471
3MC-8	421		480
3MC-∏	418		477

Рис. 2. Множественное выравнивание нуклеотидных последовательностей гена Zm_Dmp7 у линий кукурузы саратовской селекции КМ, 3MC-8, 3MC-П и референсной линии B73, выполненное с использованием программы BLAST. Точками показано нуклеотидное сходство последовательностей гена Zm_Dmp7 исследуемых линий с последовательностью гена Zm_Dmp7 референсной линии B73; OH3 у линий КМ, 3MC-8 и 3MC-П обозначены буквами; дефис означает отсутствие нуклеотида. OH3 линии 3MC-8, совпадающая с OH3 линии CAU5, подчеркнута.

у всех линий в дендрограмме p-расстояния ветвей не превышают 0,007 (см. рис. 3). Линии AT-1, AT-3 и AT-4 входят в одну группу с референсной линией B73. Несмотря на то что линия Stock 6 аннотирована как одна из предковых для линии AT-1 [17], ген Zm_Pla1 не был унаследован этой линией.

Филогенетический анализ гена Zm_Pla1 демонстрирует родство гаплоиндуцирующих линий Stock 6, 3MC-П и 3MC-8 и приобретение линиями 3MC-П и 3MC-8 способности к гаплоиндукции за счет мутации в гене Zm_Pla1 у Stock 6 укладывается в эту концепцию. Однако линии-гаплоиндукторы 3MC-П и 3MC-8 объединены в группу не только с линией Stock 6, но и с негаплоиндуцирующими линиями EP1, CML277, CML69, TX303, CML103, NC358, M162W, KY21, CML247 (см. рис. 3).

На основании выявленного нами полиморфизма гена Zm_Dmp7 построена филограмма с использованием последовательностей гена Zm_Dmp7 линий-негаплоиндукторов, найденных в базах данных и исследуемых нами, линий ГПЛ-1 и КМ, а также линий-гаплоиндукторов – ЗМС-П и ЗМС-8 (см. рис. 4). По характеру нуклеотидных последовательностей линии кукурузы распределились в два кластера с низким значением р-расстояния (эволюционное расстояние) между линиями внутри кластера. Как видно из дендрограммы, один из кластеров включает линии-гаплоиндукторы

ЗМС-П, ЗМС-8 и контрольную линию ГПЛ-1 саратовской селекции.

Линия Stock 6, несущая мутацию в гене Zm_Pla1 , являлась предковой для линий с наследуемым (AT-1, AT-3, AT-4) и индуцированным (3MC- Π , 3MC-8) партеногенезом. Нами показано, что высокая гаплоиндуцирующая способность саратовских линий 3MC- Π и 3MC-8 частично обусловлена наличием дефектного гена Zm_Pla1 , унаследованного от Stock 6. Партеногенетические линии AT несут ген Zm_Pla1 , полностью идентичный гену Zm_Pla1 референсной непартеногенетической линии B73, что указывает на то, что элементы апомиксиса, демонстрируемые этими линиями, обусловлены иными генетическими детерминантами.

В процессе многолетней селекционной работы нескольких групп по всему миру частоту гапло-индукции у современных линий-гаплоиндукторов кукурузы удалось повысить с 2 до 8–15 % по сравнению с предковой линией Stock 6 [6, 16]. Ген Zm_Pla1 определен как первый детерминирующий гаплоиндукцию с частотой 2% [27], и ведутся поиски генов повышенной гаплоиндуцирующей способности. Например, в работе [30] идентифицировали девять ОНЗ, которые были достоверно связаны с гаплоиндукцией. В работе [9] одна из ОНЗ (в положении 131) в гене Zm_Dmp7 была определена как причина повышенной частоты гаплоиндукции

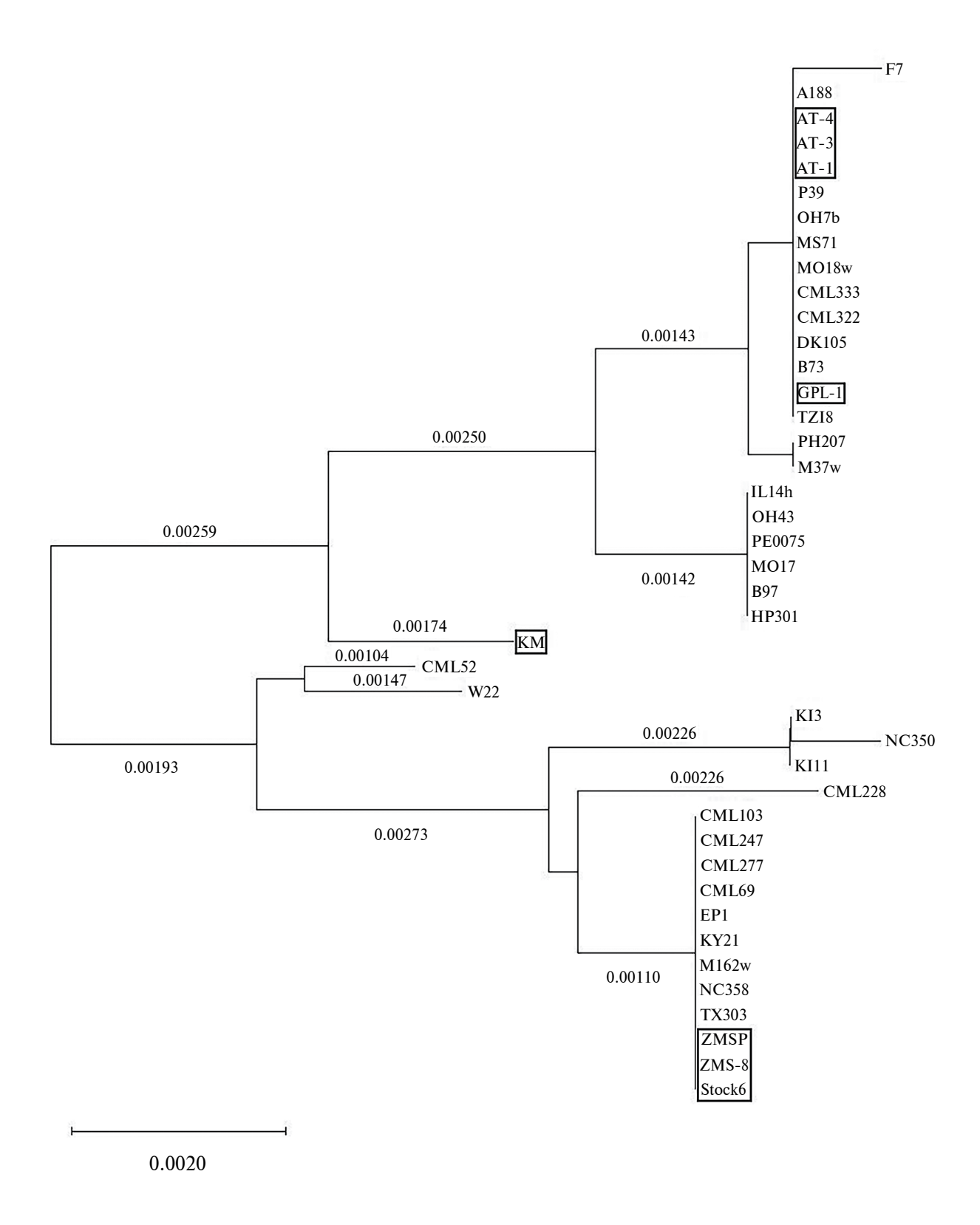


Рис. 3. Филограмма линий кукурузы по гену *Zm_Pla1*, построенная в программе MEGA 11 [по 16] (обозначения линий даны согласно авторскому оригиналу). Вариант представления с данными эволюционного расстояния для каждой из ветвей; рамками выделены изучаемые линии саратовской селекции.

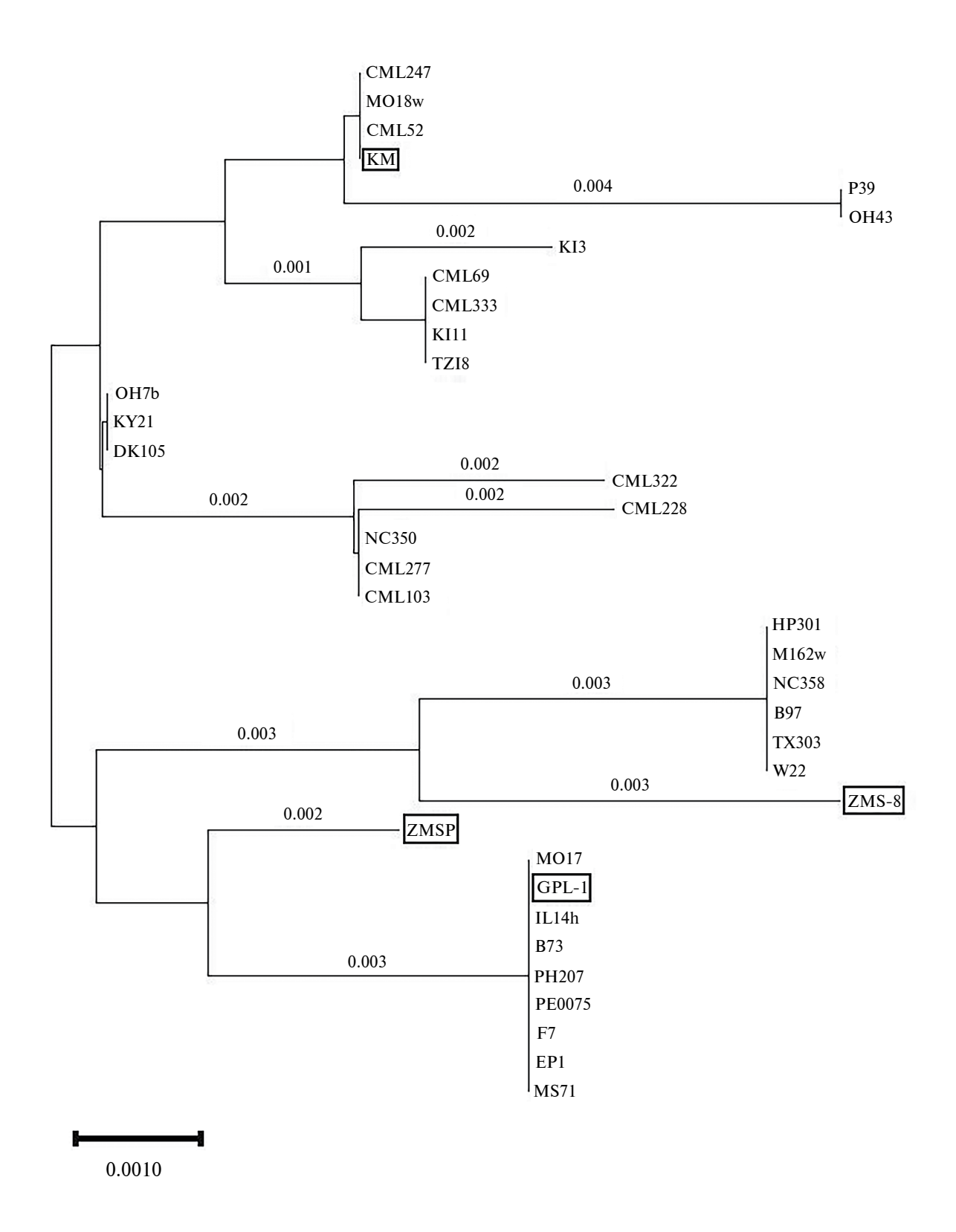


Рис. 4. Филограмма линий кукурузы по гену Zm_DMP7 , построенная в программе MEGA 11 [по 16] (обозначения линий даны согласно авторскому оригиналу). Вариант представления с данными эволюционного расстояния для каждой из ветвей; рамками выделены изучаемые линии саратовской селекции.

в присутствии мутантного гена Zm_Pla1 . В наших исследованиях связь этой мутации гена Zm_Dmp7 с повышенной способностью линий саратовской селекции к гаплоинлукции не установлена.

Исследование выполнено за счет гранта Российского научного фонда (проект № 23-26-00101). Авторы признательны Ю.В. Смолькиной, О.В. Гуторовой, А.Ю. Колесовой за предоставленные образцы кукурузы.

Настоящая статья не содержит каких-либо исследований с использованием в качестве объекта людей и животных.

Авторы заявляют, что у них нет конфликта интересов.

СПИСОК ЛИТЕРАТУРЫ

- Coe E.H. A line of maize with high haploid frequency // Am. Naturalist. 1959. V. 59. P. 381–382. doi: 10.1086/282098
- 2. Gilles L.M., Khaled A., Laffaire J.B. et al. Loss of pollen-specific phospholipase NOT LIKE DAD triggers gynogenesis in maize // EMBO J. 2017. doi: 10.15252/embj.201796603
- 3. *Тырнов В.С., Завалишина А.Н.* Индукция высокой частоты возникновения матроклинных гаплоидов кукурузы // Докл. АН СССР. 1984. Т. 276. С. 735—738.
- 4. Zavalishina A.N., Tyrnov V.S. Induction of matroclinical haploidy in maize *in vivo* // Reproductive biology and plant breeding: XIII EUCARPIA Congr. L. 1992. P. 221–222.
- 5. Еналеева Н.Х., Тырнов В.С., Селиванова Л.П., Завалишина А.Н. Одинарное оплодотворение и проблема гаплоиндукции у кукурузы // ДАН. 1997. Т. 353. С. 405—407.
- 6. *Гуторова О.В., Апанасова Н.В., Юдакова О.И.* Создание генетически маркированных линий кукурузы с наследуемым и индуцированным типами партеногенеза // Изв. Самар. науч. центра Росс. академии наук. 2016. Т. 18. № 2. С. 341—344.
- 7. Takahashi T., Mori T., Ueda K. et al. The male gamete membrane protein DMP9/DAU2 is required for double fertilization in flowering plants // Development. 2018. V. 45. Iss. 23. doi: 10.1242/dev.170076
- 8. *Cyprys P., Lindemeier M., Sprunck S.* Gamete fusion is facilitated by two sperm cell-expressed DUF679 membrane proteins // Nat. Plants. 2019. V. 5. P. 253–257. doi: 10.1038/s41477-019-0382-3
- 9. Zhong Y., Liu C., Qi X. et al. Mutation of ZmDMP enhances haploid induction in maize // Nat. Plants. 2019. V. 5. P. 575–580. doi: 10.1038/s41477-019-0443-7
- 10. Chalyk S., Baumann A., Daniel G. et al. Aneuploidy as a possible cause of haploid-induction in maize

- // Maize Genet. Coop. Newsletter. 2003. V. 77. P. 29–30.
- 11. Zhang Z.L., Qiu F.Z., Liu Y.Z. et al. Chromosome elimination and in vivo haploid production induced by Stock 6-derived inducer line in maize (Zea mays L.) // Plant Cell Rep. 2008. V. 27. P. 1851–1860. doi: 10.1007/s00299-008-0601-2
- 12. *Qiu F., Liang Y., Li Y. et al.* Morphological, cellular and molecular evidences of chromosome random elimination *in vivo* upon haploid induction in maize // Curr. Plant Biol. 2014. V. 1. P. 83–90. doi: 10.1016/j.cpb.2014.04.001
- 13. *Kelliher T., Starr D., Wang W. et al.* Maternal haploids are preferentially induced by CENH3-tailswap transgenic complementation in maize // Front. Plant Sci. 2016. V. 7. P. 1–11. doi: 10.3389/fpls.2016.00414
- 14. *Ravi M., Chan S.W.L.* Haploid plants produced by centromere-mediated genome elimination // Nature. 2010. V. 464. P. 615–619. doi: 10.1038/nature08842
- 15. Wang S., Jin W., Wang K. Centromere histone H3- and phospholipase-mediated haploid induction in plants // Plant Methods. 2019. V. 15. Article 42. doi: 10.1186/s13007-019-0429-5
- Hu H., Schrag T.A., Peis R. et al. The genetic basis of haploid induction in maize identified with a novel genome-wide association method // Genetics. 2016. V. 202. P. 1267–1276. doi: 10.1534/genetics.115.184234
- 17. *Тырнов В.С., Еналеева Н.Х.* Автономное развитие зародыша и эндосперма у кукурузы // Докл. АН СССР. 1983. Т. 272. № 3. С. 722–725.
- 18. Апанасова Н.В., Павлов Н.А. Новые партеногенетические линии кукурузы // Сб. ст. Межд. науч.-практ. конф., посвящ. 135-й годовщине со дня рождения акад. Н.И. Вавилова. ВАВИЛОВСКИЕ ЧТЕНИЯ. Capaтов, 2022. С. 49—52. https://www.vavilovsar.ru/files/ckeditor/uploads/22-12-26/1672047844/ VCh2022%20 SBORNIK.pdf
- 19. *Kolesova A.Y., Tyrnov V.S.* Embryological peculiarities of tetraploid parthenogenetic maize forms // Maize Genet. Coop. Newsletter. 2012. V. 85. P. 65–66.
- Volokhina I., Gusev Y., Moiseeva Ye. et al. Gene expression in parthenogenic maize proembryos // Plants. 2021. V. 10 (5). doi: 10.3390/plants10050964
- 21. *Апанасова Н.В., Титовец В.В.* Цитоэмбриологическое изучение проявления апомиксиса у кукурузы линии АТ-3 после опыления // Бюлл. Бот. сада Саратовского гос. ун-та. 2003. № 2. С. 194—197.
- Tyrnov V.S. Producing of parthenogenetic forms of maize // Maize Genet. Coop. Newsletter. 1997. V. 71. P. 73–74.

- 23. *Tyrnov V.S., Smolkina Y.V., Titovets V.V.* Estimation of parthenogenesis frequency on the grounds of genetical and embryological data // Maize Genet. Coop. Newsletter. 2001. V. 75. P. 56–57.
- 24. *Моисеева Е.М., Гусев Ю.С., Гуторова О.В., Чума-ков М.И.* Сравнительный анализ экспрессии генов *HAP2/GCS1, GEX2* у линий кукурузы саратовской селекции // Генетика. 2023. Т. 59. № 3. С. 327—335. doi: 10.31857/S0016675823030098.
- 25. Моисеева Е.М., Фадеев В.В., Красова Ю.В., Чумаков М.И. Анализ мутаций генов автономного эмбрио- и эндоспермогенеза кукурузы // Генетика. 2023. Т. 59. № 9. С. 1090—1093. doi: 10.31857/S0016675823090084.
- 26. *Чумаков М.И*. Матроклинная гаплоидия и взаимодействие гамет у кукурузы (обзор) // Генетика. 2018. Т. 54. № 10. С. 1120—1124. doi: 10.1134/S1022795418100058

- 27. *Liu C.*, *Li X.*, *Meng D. et al.* A 4-bp insertion at *ZmPLA1* encoding a putative phospholipase a generates haploid induction in maize // Mol. Plant. 2017. V. 10. P. 520–522. doi: 10.1016/j.molp.2017.01.011
- 28. *Tamura K., Nei M., Kumar S.* Prospects for inferring very large phylogenies by using the neighbor-joining method // Proc. Natl Acad. Sci. USA. 2004. V. 101 (30). P. 11030–11035.
- 29. *Tamura K., Stecher G., Kumar S.* MEGA 11: Molecular evolutionary genetics analysis version 11 // Mol. Biol. Evol. 2021. V. 38. P. 3022–3027. doi: 10.1093/molbev/msab120
- 30. *Trentin H.U., Frei U.K., Lübberstedt T.* Breeding maize maternal haploid inducers // Plants. 2020. V. 9 (5). P. 614.

doi.: 10.3390/plants90506

Comparative Analysis of Mutations of the Gynogenesis Maize Genes

Ye. M. Moiseeva¹, V. V. Fadeev¹, Yu. V. Fadeeva¹, S. I. Mazilov¹, M. I. Chumakov¹, *

¹Institute of Biochemistry and Physiology of Plants and Microorganisms, Federal Research Center "Saratov Scientific Center of the Russian Academy of Sciences", Saratov, 410049 Russia

*e-mail: chumakov m@ibppm.ru

The SNP polymorphism in gynogenesis (Zm_Pla1 , Zm_CenH3 , Zm_Dmp7) genes from haploid-inducing and control maize lines was evaluated. Using sequencing and multiple alignment methods the SNP, deletions, insertions in the target genes was established in comparing with the reference B73 maize line, and the phylogenetic trees were prepared. The presence of a 4-nucleotide insertions (4NI) and 15 identical SNP in the Zm_Pla1 gene of the ancestral Stock 6 and haploid-inducing ZMS-8 and ZMS-P maize lines and the absence of 4NI in the Zm_Pla1 gene in parthenogenetic as well as control maize lines were established. Phylogenetic analysis of the Zm_Pla1 gene confirmed the relationships between Stock 6 and haploid-inducing ZMS-P and ZMS-8 maize lines from Saratov. The presence of 5 SNPs in the Zm_Dmp7 gene of the ZMS-8 line, 3 SNPs and one 3-nucleotide deletion in the Zm_Dmp7 gene of the KM line were observed. The SNP (at position 131 from the start codon) in the Zm_Dmp7 gene is the reason for the increased haploid-inducing ability in CAU5, but not for ZMS-P maize line. Additionally, the 3-nucleotide deletion in the Zm_Dmp7 gene in the ZMS-P maize line and a 9-nucleotide deletion in the KM maize line were observed.

Keywords: haploid-induction, maize, mutations, gene polymorphism.